

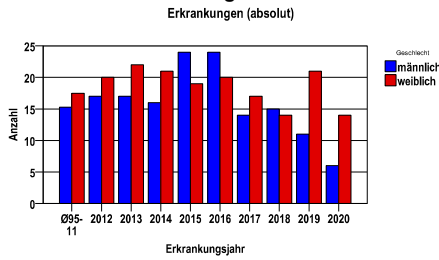
**Weichteilgewebe ohne Mesotheliom C46 - C49**

**Durchschnittlich erfasste Erkrankungszahlen**

| Zeitraum    | Geschlecht | N  | rohe Rate | altersstandardisierte Rate (ESR)* | arithm. Alter Jahre | medianes Alter Jahre | Vergleich medianes Alter | Vergleichsquelle   |
|-------------|------------|----|-----------|-----------------------------------|---------------------|----------------------|--------------------------|--------------------|
| 2015 - 2019 | männlich   | 88 | 6,1       | 3,9                               | 64,7                | 68,3                 | 67,0                     | RKI, BRD 2015-2016 |
|             | weiblich   | 91 | 6,0       | 3,5                               | 66,3                | 70,4                 | 68,0                     |                    |

\* europastandardisierte Rate

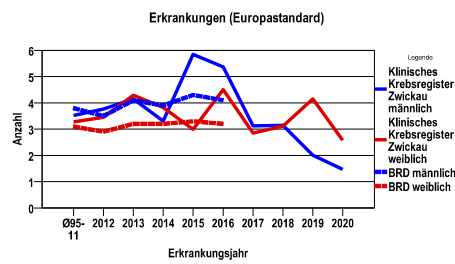
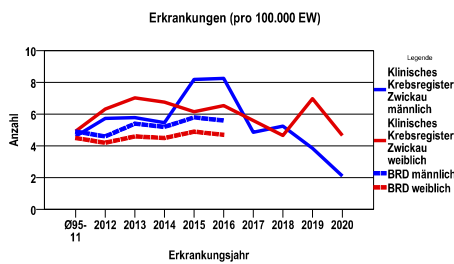
**Anzahl Neuerkrankungen**



**Absolute Neuerkrankungen und Neuerkrankungsraten je 100.000 Einwohner**

| Jahr   | absolut männlich | absolut weiblich | Rohe Rate männlich | Rohe Rate weiblich | Stand. Rate männlich | Stand. Rate weiblich |
|--------|------------------|------------------|--------------------|--------------------|----------------------|----------------------|
| 2020   | 6                | 14               | 2,1                | 4,7                | 1,5                  | 2,6                  |
| 2019   | 11               | 21               | 3,8                | 7,0                | 2,0                  | 4,1                  |
| 2018   | 15               | 14               | 5,2                | 4,7                | 3,1                  | 3,1                  |
| 2017   | 14               | 17               | 4,9                | 5,6                | 3,1                  | 2,9                  |
| 2016   | 24               | 20               | 8,3                | 6,5                | 5,4                  | 4,5                  |
| 2015   | 24               | 19               | 8,2                | 6,2                | 5,8                  | 3,0                  |
| 2014   | 16               | 21               | 5,5                | 6,8                | 3,3                  | 3,8                  |
| 2013   | 17               | 22               | 5,8                | 7,0                | 4,1                  | 4,3                  |
| 2012   | 17               | 20               | 5,7                | 6,3                | 3,8                  | 3,5                  |
| Ø95-11 | 15               | 17               | 4,6                | 4,9                | 3,5                  | 3,3                  |

Stand. Rate = Europastandard



Vergleichswerte - - - ; - - -

RKI, BRD 2016, männlich 5,6

RKI, BRD 2016, weiblich 4,7

Vergleichswerte - - - ; - - -

RKI, BRD 2016, männlich 4,1

RKI, BRD 2016, weiblich 3,2

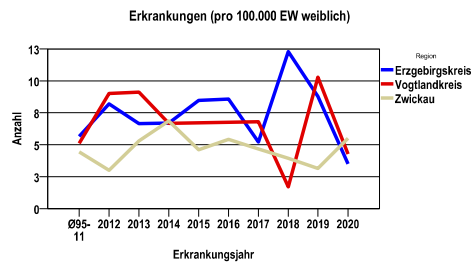
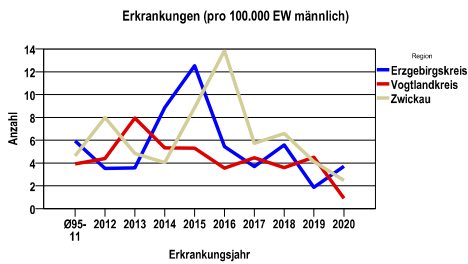
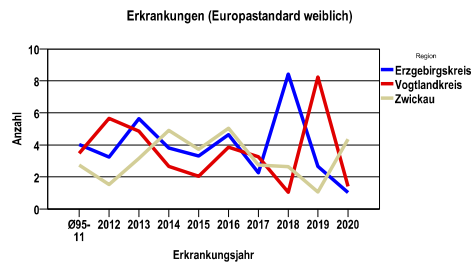
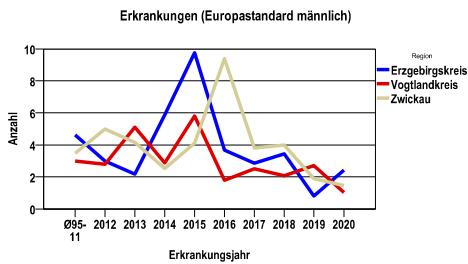
Weichteilgewebe ohne Mesotheliom C46 - C49

Zahl der Neuerkrankungen nach Stadt-/Landkreisen

| Klinisches Krebsregister Zwickau | absolut männlich |      |      |      |      | absolut weiblich |      |      |      |      |
|----------------------------------|------------------|------|------|------|------|------------------|------|------|------|------|
|                                  | 2020             | 2019 | 2018 | 2017 | 2016 | 2020             | 2019 | 2018 | 2017 | 2016 |
| Erzgebirgskreis (anteilig 33,0%) | 2                | 1    | 3    | 2    | 3    | 2                | 5    | 7    | 3    | 5    |
| Vogtlandkreis                    | 1                | 5    | 4    | 5    | 4    | 5                | 12   | 2    | 8    | 8    |
| Zwickau (anteilig 78,3%)         | 3                | 5    | 8    | 7    | 17   | 7                | 4    | 5    | 6    | 7    |

Neuerkrankungsrate nach Stadt-/Landkreisen (n/100.000 Einwohner), altersstandardisiert (ESR)

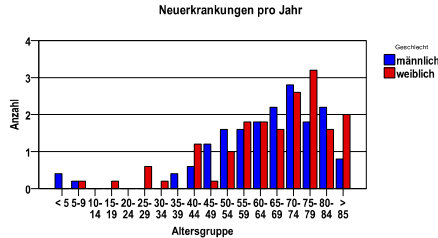
| Region          | Stand. Rate männlich |      |      |      |      | Stand. Rate weiblich |      |      |      |      |
|-----------------|----------------------|------|------|------|------|----------------------|------|------|------|------|
|                 | 2020                 | 2019 | 2018 | 2017 | 2016 | 2020                 | 2019 | 2018 | 2017 | 2016 |
| Erzgebirgskreis | 2,4                  | ,8   | 3,4  | 2,9  | 3,7  | 1,0                  | 2,7  | 8,4  | 2,3  | 4,6  |
| Vogtlandkreis   | 1,0                  | 2,7  | 2,1  | 2,5  | 1,8  | 1,4                  | 8,2  | 1,0  | 3,3  | 3,9  |
| Zwickau         | 1,5                  | 1,9  | 4,0  | 3,8  | 9,4  | 4,4                  | 1,1  | 2,6  | 2,7  | 5,0  |



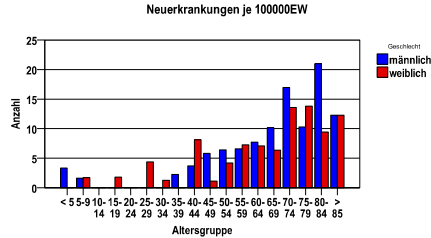
Weichteilgewebe ohne Mesotheliom C46 - C49

|                      |
|----------------------|
| <b>Diagnosejahre</b> |
| 2015 bis 2019        |

Neuerkrankungen/Jahr nach Altersgruppen



Neuerkrankungen/100.000 EW nach Altersgruppen



Häufigkeit der Tumorerkrankungen nach der Lokalisation (ICD-O)

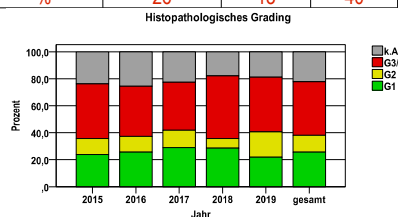
| ICD-O  | Bezeichnung  | m  | %m   | w  | %w   | ges. | %ges. |
|--------|--|----|------|----|------|------|-------|
| C47.2  | Periphere Nerven und autonomes Nervensystem der unteren Extremität und der Hüfte             | 2  | 2,3  | 1  | 1,1  | 3    | 1,7   |
| C48.0  | Retropertitoneum   | 5  | 5,7  | 5  | 5,5  | 10   | 5,6   |
| C48.1  | Näher bezeichnete Teile des Peritoneums  | 2  | 2,3  | 24 | 26,4 | 26   | 14,5  |
| C48.8  | Retropertitoneum und Peritoneum, mehrere Teilbereiche überlappend                            | 0  | .    | 3  | 3,3  | 3    | 1,7   |
| C49.0  | Bindegewebe, Subkutangewebe und sonstige Weichteile des Kopfes, des Gesichtes und des Halses | 8  | 9,1  | 4  | 4,4  | 12   | 6,7   |
| C49.1  | Bindegewebe, Subkutangewebe und sonstige Weichteile der oberen Extremität und der Schulter   | 12 | 13,6 | 6  | 6,6  | 18   | 10,1  |
| C49.2  | Bindegewebe, Subkutangewebe und sonstige Weichteile der unteren Extremität und der Hüfte     | 25 | 28,4 | 27 | 29,7 | 52   | 29,1  |
| C49.3  | Bindegewebe, Subkutangewebe und sonstige Weichteile des Thorax                               | 5  | 5,7  | 8  | 8,8  | 13   | 7,3   |
| C49.4  | Bindegewebe, Subkutangewebe und sonstige Weichteilgewebe des Abdomen                         | 10 | 11,4 | 6  | 6,6  | 16   | 8,9   |
| C49.5  | Bindegewebe, Subkutangewebe und sonstige Weichteile des Beckens                              | 8  | 9,1  | 4  | 4,4  | 12   | 6,7   |
| C49.6  | Bindegewebe, Subkutangewebe und sonstige Weichteile des Stammes o.n.A.                       | 2  | 2,3  | 1  | 1,1  | 3    | 1,7   |
| C49.9  | Bindegewebe, Subkutangewebe und sonstige Weichteile o.n.A.                                   | 3  | 3,4  | 0  | .    | 3    | 1,7   |
| sonst. | sonstige Lokalisationen  | 6  | 6,8  | 2  | 2,2  | 8    | 4,5   |
|        | Gesamt   | 88 | 49,2 | 91 | 50,8 | 179  | .     |

Histologische Häufigkeitsverteilung

| Bezeichnung                             | M-Code | N   | %     | % gesamt |
|---|--------|-----|-------|----------|
| Riesenzellsarkom                        | 8802/3 | 20  | 11,4% | 11,2%    |
| Leiomyosarkom o.n.A.                    | 8890/3 | 17  | 9,7%  | 9,5%     |
| Liposarkom o.n.A.                       | 8850/3 | 14  | 8,0%  | 7,8%     |
| Fibromyxosarkom                         | 8811/3 | 12  | 6,8%  | 6,7%     |
| Myxoides Liposarkom                     | 8852/3 | 10  | 5,7%  | 5,6%     |
| Seröses papilläres Oberflächenkarzinom  | 8461/3 | 10  | 5,7%  | 5,6%     |
| Seröses Zystadenokarzinom o.n.A.        | 8441/3 | 9   | 5,1%  | 5,0%     |
| Entdifferenziertes Liposarkom           | 8858/3 | 7   | 4,0%  | 3,9%     |
| Spindelzellsarkom                       | 8801/3 | 6   | 3,4%  | 3,4%     |
| Hämangiosarkom                          | 9120/3 | 5   | 2,8%  | 2,8%     |
| Sarkom o.n.A.                           | 8800/3 | 5   | 2,8%  | 2,8%     |
| Maligner peripherer Nervenscheidentumor | 9540/3 | 4   | 2,3%  | 2,2%     |
| Kaposi-Sarkom                           | 9140/3 | 4   | 2,3%  | 2,2%     |
| Spindelzelliges Synovialsarkom          | 9041/3 | 4   | 2,3%  | 2,2%     |
| Fibrosarkom o.n.A.                      | 8810/3 | 4   | 2,3%  | 2,2%     |
| Undifferenziertes Sarkom                | 8805/3 | 4   | 2,3%  | 2,2%     |
| sonstige maligne Histologien            |        | 41  | 23,3% | 22,9%    |
| maligne Histologien gesamt              |        | 176 |       | 98,3%    |
| nicht histologisch gesichert            |        | 3   |       | 1,7%     |

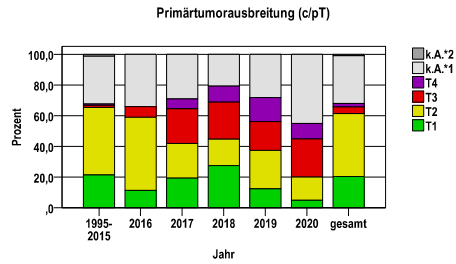
Histologisches Grading (nur histologisch gesicherte Fälle)

| Jahr   | G1 | G2 | G3/4 | k.A. | gesamt |
|--------|----|----|------|------|--------|
| 2015   | 10 | 5  | 17   | 10   | 42     |
| 2016   | 11 | 5  | 16   | 11   | 43     |
| 2017   | 9  | 4  | 11   | 7    | 31     |
| 2018   | 8  | 2  | 13   | 5    | 28     |
| 2019   | 7  | 6  | 13   | 6    | 32     |
| gesamt | 45 | 22 | 70   | 39   | 176    |
| %      | 26 | 13 | 40   | 22   | 100    |



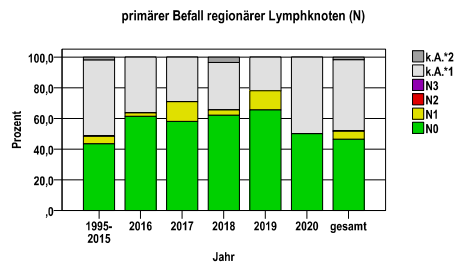
**Primärtumorausbreitung (T)**

| Jahr      | T1  | T2  | T3 | T4 | k.A.*1 | k.A.*2 | gesamt |
|-----------|-----|-----|----|----|--------|--------|--------|
| 1995-2015 | 153 | 313 | 10 | 7  | 222    | 8      | 713    |
| 2016      | 5   | 21  | 3  | 0  | 15     | 0      | 44     |
| 2017      | 6   | 7   | 7  | 2  | 9      | 0      | 31     |
| 2018      | 8   | 5   | 7  | 3  | 6      | 0      | 29     |
| 2019      | 4   | 8   | 6  | 5  | 9      | 0      | 32     |
| 2020      | 1   | 3   | 5  | 2  | 9      | 0      | 20     |
| gesamt    | 177 | 357 | 38 | 19 | 270    | 8      | 869    |
| %         | 20  | 41  | 4  | 2  | 31     | 1      | 100    |



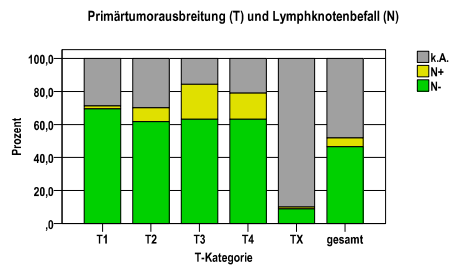
**primärer Befall der regionären Lymphknoten (N)**

| Jahr      | N0  | N1 | N2 | N3 | k.A.*1 | k.A.*2 | gesamt |
|-----------|-----|----|----|----|--------|--------|--------|
| 1995-2015 | 310 | 35 | 1  | 1  | 352    | 14     | 713    |
| 2016      | 27  | 1  | 0  | 0  | 16     | 0      | 44     |
| 2017      | 18  | 4  | 0  | 0  | 9      | 0      | 31     |
| 2018      | 18  | 1  | 0  | 0  | 9      | 1      | 29     |
| 2019      | 21  | 4  | 0  | 0  | 7      | 0      | 32     |
| 2020      | 10  | 0  | 0  | 0  | 10     | 0      | 20     |
| gesamt    | 404 | 45 | 1  | 1  | 403    | 15     | 869    |
| %         | 46  | 5  | 0  | 0  | 46     | 2      | 100    |



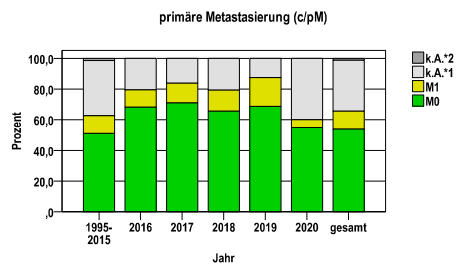
**Primärtumorausbreitung (T) und Lymphknotenbefall (N)**

| T-Kategorie | N-  | N+ | k.A. | gesamt | N+ % |
|-------------|-----|----|------|--------|------|
| T1          | 123 | 3  | 51   | 177    | 1,7  |
| T2          | 220 | 30 | 107  | 357    | 8,4  |
| T3          | 24  | 8  | 6    | 38     | 21,1 |
| T4          | 12  | 3  | 4    | 19     | 15,8 |
| TX          | 25  | 3  | 250  | 278    | 1,1  |
| gesamt      | 404 | 47 | 418  | 869    | 5,4  |
| %           | 46  | 5  | 48   | 100    | .    |



**primäre Metastasierung (M)**

| Jahr      | M0  | M1  | k.A.*1 | k.A.*2 | gesamt |
|-----------|-----|-----|--------|--------|--------|
| 1995-2015 | 364 | 82  | 257    | 10     | 713    |
| 2016      | 30  | 5   | 9      | 0      | 44     |
| 2017      | 22  | 4   | 5      | 0      | 31     |
| 2018      | 19  | 4   | 6      | 0      | 29     |
| 2019      | 22  | 6   | 4      | 0      | 32     |
| 2020      | 11  | 1   | 8      | 0      | 20     |
| gesamt    | 468 | 102 | 289    | 10     | 869    |
| %         | 54  | 12  | 33     | 1      | 100    |

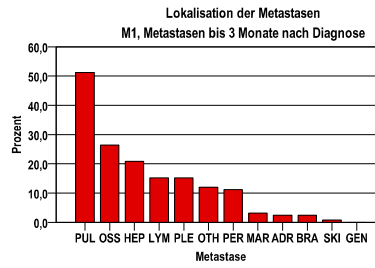


k.A.\*1 = keine Angabe, Primärtumor jedoch histologisch gesichert  
 k.A.\*2 = keine Angabe, nur klinische Sicherung des Tumors

**Weichteilgewebe ohne Mesotheliom C46 - C49**

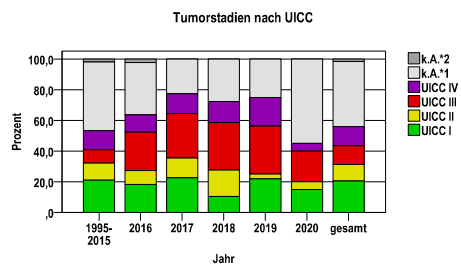
**primäre Metastasen**

| Metastase | Anzahl | Prozent | Gesamt N |
|-----------|--------|---------|----------|
| PUL       | 64     | 51,2    | 125      |
| OSS       | 33     | 26,4    | .        |
| HEP       | 26     | 20,8    | .        |
| LYM       | 19     | 15,2    | .        |
| PLE       | 19     | 15,2    | .        |
| OTH       | 15     | 12,0    | .        |
| PER       | 14     | 11,2    | .        |
| MAR       | 4      | 3,2     | .        |
| ADR       | 3      | 2,4     | .        |
| BRA       | 3      | 2,4     | .        |
| SKI       | 1      | ,8      | .        |
| GEN       | 0      | ,0      | .        |



**Tumorstadien nach UICC**

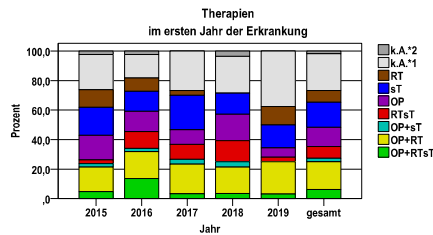
| Jahr      | UICC I | UICC II | UICC III | UICC IV | k.A. *1 | k.A. *2 | gesamt | UICC IV % |
|-----------|--------|---------|----------|---------|---------|---------|--------|-----------|
| 1995-2015 | 150    | 79      | 62       | 90      | 319     | 13      | 713    | 12,6      |
| 2016      | 8      | 4       | 11       | 5       | 15      | 1       | 44     | 11,4      |
| 2017      | 7      | 4       | 9        | 4       | 7       | 0       | 31     | 12,9      |
| 2018      | 3      | 5       | 9        | 4       | 8       | 0       | 29     | 13,8      |
| 2019      | 7      | 1       | 10       | 6       | 8       | 0       | 32     | 18,8      |
| 2020      | 3      | 1       | 4        | 1       | 11      | 0       | 20     | 5,0       |
| gesamt    | 178    | 94      | 105      | 110     | 368     | 14      | 869    | 12,7      |
| %         | 20     | 11      | 12       | 13      | 42      | 2       | 100    | .         |



Weichteilgewebe ohne Mesotheliom C46 - C49

Therapien im ersten Jahr nach Diagnosenstellung\*

| Jahr   | OP+RTsT | OP+RT | OP+sT | RTsT | OP | sT | RT | k.A.*1 | k.A.*2 | gesamt | OP % |
|--------|---------|-------|-------|------|----|----|----|--------|--------|--------|------|
| 2015   | 2       | 7     | 1     | 1    | 7  | 8  | 5  | 10     | 1      | 42     | 16,7 |
| 2016   | 6       | 8     | 1     | 5    | 6  | 6  | 4  | 7      | 1      | 44     | 13,6 |
| 2017   | 1       | 6     | 1     | 3    | 3  | 7  | 1  | 8      | 0      | 30     | 10,0 |
| 2018   | 1       | 5     | 1     | 4    | 5  | 4  | 0  | 7      | 1      | 28     | 17,9 |
| 2019   | 1       | 7     | 0     | 1    | 2  | 5  | 4  | 12     | 0      | 32     | 6,3  |
| gesamt | 11      | 33    | 4     | 14   | 23 | 30 | 14 | 44     | 3      | 176    | 13,1 |
| %      | 6       | 19    | 2     | 8    | 13 | 17 | 8  | 25     | 2      | 100    | .    |



sT = systemische Therapie  
RT = Strahlentherapie  
OP = Operation

k.A.\*1 = keine tumorspezifische Therapie, jedoch histologisch gesichert  
k.A.\*2 = keine tumorspezifische Therapie, nur klinische Sicherung des Tumors

| Diagnosejahre |
|---------------|
| 2015 bis 2019 |

Operationen im ersten Jahr nach Diagnosenstellung\*

| OPS    | Anzahl | %    | OPS-Schlüssel Version 2015  |
|--------|--------|------|---|
| 5-895  | 30     | 42,3 | Radikale und ausgedehnte Exzision von erkranktem Gewebe an Haut und Unterhaut |
| 5-852  | 29     | 40,8 | Exzision an Muskel, Sehne und Faszie  |
| 5-894  | 24     | 33,8 | Lokale Exzision von erkranktem Gewebe an Haut und Unterhaut                   |
| gesamt | 71     | .    |   |

gesamt = Anzahl der operierten Fälle (entspricht der OP-Anzahl der vorhergehende Tabelle); Mehrfachnennungen bei den OPS-Nummern sind pro Fall möglich; Prozentzahl bezieht sich auf den Anteil an den operierten Gesamtfällen

Systemische Therapien im ersten Jahr nach Diagnosenstellung\*

| Beschreibung                                 | Typ | Anzahl | %    |
|--|-----|--------|------|
| Doxorubicin, Ifosfamid                       | C   | 13     | 22,0 |
| Carboplatin, Paclitaxel                      | C   | 10     | 16,9 |
| Medikament o. n. A.                          | C   | 9      | 15,3 |
| Doxorubicin                                  | C   | 6      | 10,2 |
| Ifosfamid                                    | C   | 6      | 10,2 |
| Epirubicin, Ifosfamid                        | C   | 5      | 8,5  |
| Paclitaxel                                   | C   | 3      | 5,1  |
| Trofosfamid                                  | C   | 3      | 5,1  |
| Dacarbazin, Doxorubicin                      | C   | 3      | 5,1  |
| Doxorubicin, Etoposid, Ifosfamid, Vincristin | C   | 2      | 3,4  |
| Docetaxel, Gemcitabin                        | C   | 2      | 3,4  |
| Trabectedin                                  | C   | 2      | 3,4  |
| Bleomycin, Cisplatin, Etoposid               | C   | 1      | 1,7  |
| Carboplatin                                  | C   | 1      | 1,7  |
| Docetaxel                                    | C   | 1      | 1,7  |
| Gemcitabin                                   | C   | 1      | 1,7  |
| Doxorubicin, Paclitaxel                      | C   | 1      | 1,7  |
| Dacarbazin, Doxorubicin, Ifosfamid, Mesna    | C   | 1      | 1,7  |
| Doxorubicin, Trabectedin                     | C   | 1      | 1,7  |
| Bevacizumab                                  | I   | 9      | 15,3 |
| Rituximab                                    | I   | 1      | 1,7  |
| Pazopanib                                    | I   | 1      | 1,7  |
| Olaratumab                                   | I   | 1      | 1,7  |
| gesamt Anzahl der Fälle                      |     | 59     | .    |

Protokolltyp:  
CM – Monochemoth.  
CP – Polychemoth.  
C – Chemotherapie o.n.A.  
IC – Immun-/Chemoth.  
H – Hormontherapie  
I – Immuntherapie  
IU – unspezif. Immunth.  
IS – spezif. Immunth.

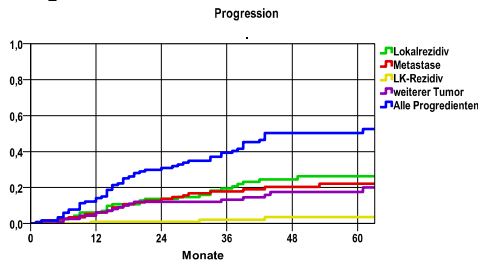
gesamt = Anzahl der therapierten Fälle; Mehrfachnennungen von Therapien sind pro Fall möglich; Prozentzahl bezieht sich auf den Anteil an den systemisch therapierten Gesamtfällen

\*Bei Eintritt eines Rezidivs werden weitere Therapien nicht ausgewiesen.  
Systemische Therapien mit einem Anteil unter 1% werden nicht aufgeführt.

Weichteilgewebe ohne Mesotheliom C46 - C49

| Diagnosejahre |
|---------------|
| 2011 bis 2016 |

Progression



mediane ereignisfreie Zeit

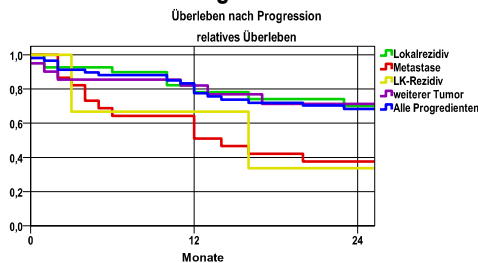
|                    |            |
|--------------------|------------|
| Lokalrezidiv       | >5,0 Jahre |
| Metastase          | >5,0 Jahre |
| LK-Rezidiv         | >5,0 Jahre |
| weiterer Tumor     | >5,0 Jahre |
| Alle Progredienten | 3,6 Jahre  |

Progression setzt Vollremission voraus.

| Ereignis           | Monate | %    | 95%CI     | N   | zens. +† % | zens. % | E  |
|--------------------|--------|------|-----------|-----|------------|---------|----|
| Lokalrezidiv       | 12     | 6,1  | 1,7-10,5  | 120 | 9,2        | 2,5     | 7  |
|                    | 24     | 13,7 | 7,3-20,2  |     | 19,2       | 5,0     | 15 |
|                    | 36     | 19,4 | 11,7-27,2 |     | 29,2       | 14,2    | 20 |
|                    | 48     | 24,6 | 15,8-33,3 |     | 43,3       | 25,0    | 24 |
|                    | 60     | 26,3 | 17,1-35,4 |     | 55,0       | 35,0    | 25 |
| Metastase          | 12     | 6,1  | 1,7-10,6  | 120 | 8,3        | 2,5     | 7  |
|                    | 24     | 13,6 | 7,2-20,1  |     | 15,8       | 5,8     | 15 |
|                    | 36     | 17,8 | 10,5-25,1 |     | 25,0       | 14,2    | 19 |
|                    | 48     | 20,3 | 12,5-28,2 |     | 41,7       | 29,2    | 21 |
|                    | 60     | 22,1 | 13,7-30,5 |     | 54,2       | 40,0    | 22 |
| LK-Rezidiv         | 12     | ,9   | -,9-2,7   | 120 | 9,2        | 2,5     | 1  |
|                    | 24     | ,9   | -,9-2,7   |     | 23,3       | 5,8     | 1  |
|                    | 36     | 2,1  | -,8-5,0   |     | 33,3       | 15,0    | 2  |
|                    | 48     | 3,6  | -,5-7,6   |     | 53,3       | 30,0    | 3  |
|                    | 60     | 3,6  | -,9-2,7   |     | 68,3       | 40,8    | 3  |
| weiterer Tumor     | 12     | 6,2  | 1,8-10,7  | 120 | 9,2        | 2,5     | 7  |
|                    | 24     | 12,0 | 5,9-18,2  |     | 21,7       | 5,8     | 13 |
|                    | 36     | 13,2 | 6,7-19,7  |     | 30,8       | 14,2    | 14 |
|                    | 48     | 17,5 | 9,7-25,4  |     | 47,5       | 27,5    | 17 |
|                    | 60     | 17,5 | -,9-2,7   |     | 59,2       | 35,8    | 17 |
| Alle Progredienten | 12     | 14,1 | 7,7-20,5  | 120 | 8,3        | 2,5     | 16 |
|                    | 24     | 30,9 | 22,2-39,5 |     | 13,3       | 5,0     | 34 |
|                    | 36     | 39,3 | 29,9-48,7 |     | 21,7       | 12,5    | 42 |
|                    | 48     | 50,3 | 40,3-60,4 |     | 30,8       | 21,7    | 51 |
|                    | 60     | 50,3 | -,9-2,7   |     | 38,3       | 29,2    | 51 |

N = Anzahl der Fälle mit Vollremission  
E = Anzahl der Ereignisse

Überleben nach Progression



| Ereignis           | beob. Überl. | rel. Überl. | 95%-KI ± | N  | zens. % |
|--------------------|--------------|-------------|----------|----|---------|
| Lokalrezidiv       | 67,2         | 70,0        | 18,9     | 27 | 18,5    |
| Metastase          | 36,4         | 37,6        | 20,1     | 22 | 4,5     |
| LK-Rezidiv         | 33,3         | 33,7        | 53,3     | 3  | ,0      |
| weiterer Tumor     | 68,2         | 71,3        | 21,3     | 20 | 15,0    |
| Alle Progredienten | 65,4         | 68,4        | 13,0     | 55 | 14,5    |

medianes Überleben nach Progression

|                    |            |
|--------------------|------------|
| Lokalrezidiv       | >2,0 Jahre |
| Metastase          | 1,0 Jahre  |
| LK-Rezidiv         | 1,2 Jahre  |
| weiterer Tumor     | >2,0 Jahre |
| Alle Progredienten | >2,0 Jahre |

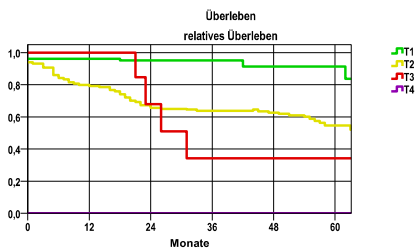
Weichteilgewebe ohne Mesotheliom C46 - C49

| Diagnosejahre |
|---------------|
| 2011 bis 2016 |

5-Jahres-Überleben nach Primärtumorausbreitung

| T-Kategorie | beob. Überl. | rel. Überl. | 95%-KI ± | N   | zens. % |
|-------------|--------------|-------------|----------|-----|---------|
| T1          | 84,6         | 91,3        | .        | 26  | 53,8    |
| T2          | 47,4         | 54,7        | 10,1     | 100 | 33,0    |
| T3          | 33,3         | 34,2        | .        | 6   | 33,3    |
| T4          | ,0           | ,0          | .        | 0   | .       |

nur Ersterkrankungen



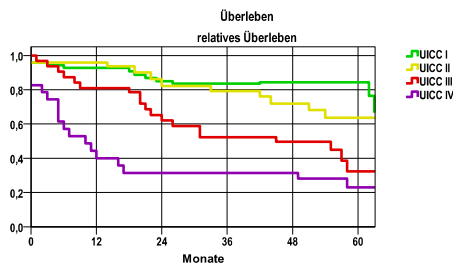
mediane Überlebenszeit

T1 >5,0 Jahre  
 T2 >5,0 Jahre  
 T3 2,2 Jahre  
 T4

5-Jahres-Überleben nach UICC-Tumorstadium

| UICC-Stadium | beob. Überl. | rel. Überl. | 95%-KI ± | N  | zens. % |
|--------------|--------------|-------------|----------|----|---------|
| UICC I       | 74,5         | 84,4        | 12,5     | 48 | 54,2    |
| UICC II      | 57,8         | 63,6        | 20,0     | 24 | 29,2    |
| UICC III     | 29,5         | 32,3        | 19,2     | 30 | 26,7    |
| UICC IV      | 20,3         | 22,9        | 17,0     | 23 | 8,7     |

nur Ersterkrankungen



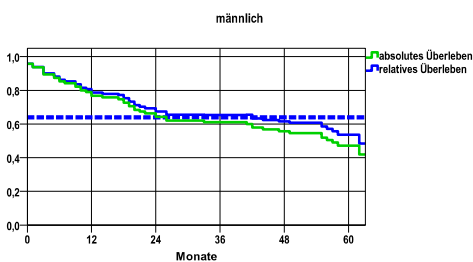
mediane Überlebenszeit

UICC I >5,0 Jahre  
 UICC II >5,0 Jahre  
 UICC III 3,7 Jahre  
 UICC IV ,8 Jahre

Überleben gesamt, männlich

| Jahr | beob. Überl. | rel. Überl. | 95%-KI ± | N  | zens. % |
|------|--------------|-------------|----------|----|---------|
| 1    | 76,8         | 78,7        | 8,5      | 95 | ,0      |
| 2    | 64,2         | 67,4        | 9,6      | .  | ,0      |
| 3    | 61,1         | 65,4        | 9,8      | .  | ,0      |
| 4    | 55,7         | 61,6        | 10,0     | .  | 4,2     |
| 5    | 47,2         | 53,7        | 10,6     | .  | 38,9    |

nur Ersterkrankungen



mediane Überlebenszeit

>5,0 Jahre

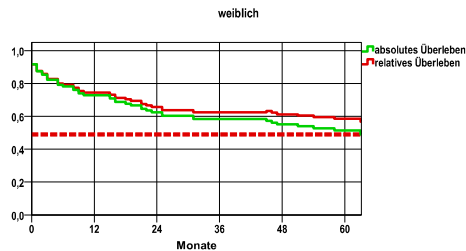
Vergleichswert - - - , 5-Jahres-Überleben (%)

RKI, BRD 2013-2014, mittlerer Wert, männlich 64,0

weiblich

| Jahr | beob. Überl. | rel. Überl. | 95%-KI ± | N  | zens. % |
|------|--------------|-------------|----------|----|---------|
| 1    | 72,9         | 74,5        | 8,9      | 96 | ,0      |
| 2    | 62,5         | 65,6        | 9,7      | .  | ,0      |
| 3    | 58,3         | 62,4        | 9,9      | .  | ,0      |
| 4    | 55,1         | 61,1        | 10,0     | .  | 3,1     |
| 5    | 51,4         | 58,6        | 10,2     | .  | 28,1    |

nur Ersterkrankungen



mediane Überlebenszeit

>5,0 Jahre

Vergleichswert - - - , 5-Jahres-Überleben (%)

RKI, BRD 2013-2014, mittlerer Wert, weiblich 49,0

| verwendete Sterbetafel: |
|-------------------------|
| Sachsen 1995-2018       |

Vorlage vom: 27.06.2018

Programmversion vom: 11.05.2016

©SWSTUZ-GTDS-SPSS-Auswertungssystem

Datenstand vom:

01.08.2021